

• 论著-研究报告 •

磁共振PIRADS v2对PSA 4~20 ng/mL区段前列腺癌的诊断价值

张天戈¹ 余舟¹ 刘迎¹ 郭吉楠¹ 谢京¹ 刘增钦¹ 黄向江¹

[摘要] 目的:探究前列腺影像报告和数据系统(PIRADS v2)在前列腺特异性抗原(PSA)4~20 ng/mL区段中诊断前列腺癌(PCa)的价值。方法:选择2018~2019年我院前列腺穿刺活检患者中PSA 4~20 ng/mL且行mp-MRI及PIRADS评分的患者255例,分为70例前列腺癌(PCa)患者和185例良性前列腺增生(BPH)患者两组,收集其多参数MR(mp-MRI)图像和临床资料,回顾性分析mp-MRI,记录PIRADS v2下所有病灶的分值及病灶所在区域。以MRI经直肠超声融合(MRI-TRUS)引导下前列腺穿刺活检标本病理结果为金标准。运用ROC曲线计算PIRADS v2在PSA 4~20 ng/mL区段中的诊断价值,Logistic回归分析PCa的危险因素。结果:两组患者PIRADS v2诊断PCa的曲线下面积为0.698(95%CI 0.623~0.772), $P<0.01$,PIRADS v2评分4分为最佳切点,其诊断特异性为71.9%,敏感性为63.4%。Logistic回归显示,PIRADS v2评分是PCa的独立预测因子($P<0.01$)。PIRADS v2评分与病理Gleason评分呈正相关($rs=0.425$, $P=0.002$; $46<0.05$)。结论:PIRADS v2评分在PSA 4~20 ng/mL区段中对PCa的诊断具有较高价值,其在PSA >10~20 ng/mL区段的诊断价值要高于灰区4~10 ng/mL的诊断价值,且与病理结果具有相关性。

[关键词] 前列腺癌;前列腺穿刺;多参数磁共振;前列腺影像报告与数据系统 v2

doi:10.13201/j.issn.1001-1420.2020.12.010

[中图分类号] R737.25 **[文献标志码]** A

Diagnostic value of PIRADS v2 in prostate cancer with PSA level of 4-20ng/mL

ZHANG Tiange YU Zhou LIU Ying GUO Jinan XIE Jing
LIU Zengqin HUANG Xiangjiang

(Department of Urology, Shenzhen People's Hospital, Shenzhen, Guangdong, 518020, China)
Corresponding author: YU Zhou, E-mail: 287858096@qq.com

Abstract Objective: To explore the value of prostate imaging reporting and data system (PIRADS v2) in the diagnosis of prostate cancer (PCa) in prostate specific antigen (PSA) level of 4-20 ng/mL. **Method:** From 2018 to 2019, 255 prostatic hyperplasia (BPH) and PCa patients in our hospital with PSA level of 4-20 ng/mL were subsumed. They all received multiparametric magnetic resonance imaging (MP-MRI) with PIRADS v2 before biopsy and their MP-MRI and clinical data were collected. We retrospectively analyzed the results of mp-MRI and recorded the scores of all lesions according to PIRADS v2 and the location of the lesions. The pathological results of MRI transrectal ultrasound (MRI-TRUS) fusion guided prostate biopsy specimens were the gold reference. The diagnostic value of PIRADS v2 in PSA levels of 4-20 ng/mL was calculated by receiver operating characteristic (ROC) curve, and the risk factors of PCa were analyzed by logistic regression analysis. **Result:** Seventy PCa and 185 BPH patients were included. The area under ROC curve of PIRADS v2 in diagnosing PCa was 0.698 (95%CI 0.623-0.772) ($P<0.01$) with a best cutoff PIRADS score of 4, and the diagnosis specificity was 71.9% and sensitivity 63.4%. Logistic regression shows that PIRADS v2 is an independent predictor of PCa ($P<0.01$). PIRADS v2 score was positively correlated to gleason score ($rs=0.425$, $P=0.002$; $46<0.05$). **Conclusion:** PIRADS v2 score has high value in the diagnosis of PCa in PSA level of 4-20 ng/mL, and the diagnostic value in the PSA level of (10, 20) ng/mL was significantly higher than that in the gray zone 4-10ng/mL. PIRADS v2 score is related to pathological results.

Key words prostate cancer; prostate biopsy; multiparametric magnetic resonance imaging; prostate imaging reporting and data system version 2

¹深圳市人民医院泌尿外科(广东深圳,518020)
通信作者:余舟,E-mail:287858096@qq.com

前列腺癌(prostate cancer, PCa)目前已成为全世界男性中第二常见的恶性肿瘤,2019年有174 650例患者确诊,31 620例死于PCa^[1]。前列腺特异性抗原(PSA)检测结合经直肠超声(TRUS)引导的下穿刺活检作为传统的检测手段已经被证实对PCa诊断的特异性和敏感性都不高^[2],多参数磁共振(mp-MRI)技术的应用,使PCa的诊断准确性得到了显著提高^[3],前列腺影像报告与数据系统(prostate imaging reporting and data system, PIRADS)的出现进一步提供了PCa的mp-MRI的诊断标准化,2015年最新版本(PIRADS v2)将每一处病灶根据其怀疑是PCa的可能性由低至高评为1~5分,简化了PIRADS评分系统的解读,减少了人为误差^[4]。同标准的TRUS引导下12点系统活检相比,使用MR-US融合穿刺活检术(biopsy using MR-US fusion)的活检阳性率更高,特别在高级别的PCa组中差异更大^[5-7]。本研究通过回顾性分析我院2018~2019年行MR-US融合前列腺穿刺的患者的病理结果,评估PIRADS v2在PSA 4~20 ng/mL内PCa的诊断价值。

1 资料与方法

1.1 一般资料

回顾性分析我院2018~2019年行前列腺穿刺的患者。纳入标准:PSA 4~20 ng/mL且行mp-MRI及PIRADS评分的患者255例,病理报告为良性前列腺增生(BPH)或PCa,排除非首次活检、曾行抗雄激素治疗的患者。

1.2 MRI扫描及影像结果分析

仪器采用3.0T(Siemens Skyra,3.0T)mp-MRI,体部相控线圈。MRI图像由5年以上经验的泌尿组放射专家阅片,MRI-T2 WI、弥散加权成像(DWI)和动态增强扫描(DCE)确定可疑病灶。根据PIRADS v2评分系统对所有可疑病灶按等级分为1~5分。

1.3 病理标本的采集

采用实时超声影像融合导航系统(real time virtual sonography navigation,RVS),将原始数据导入RVS超声主机,标记T2 WI、DWI或DCE中明显异常信号的图像为目标病灶,穿刺采用BARD自动活检枪及18G活检针。行TRUS检测同步显示mp-MRI图像,确认TRUS/MRI图像同步良好后作前列腺矢状面扫描,找到目标病灶后每个病灶穿刺2针,再行常规12针系统穿刺,10%福尔马林固定标本后行石蜡病理检查。

1.4 统计学方法

应用SPSS 22.0统计学软件对数据进行分析。纳入患者年龄、血清总PSA、fPSA/tPSA值,前列腺穿刺术后病理结果为因子。计算PIRADS v2的

ROC下曲线面积(AUC),应用Logistic回归进行PCa的危险因素分析,以P<0.05为差异有统计学意义。

2 结果

2.1 资料统计分析

研究共计纳入70例PCa患者和185例BPH患者。PCa患者的平均年龄为68.03岁,tPSA水平平均为10.19 ng/mL,fPSA水平平均为1.454 ng/mL,f/tPSA平均为0.139。BPH患者的平均年龄为64.73岁,tPSA水平平均为9.51 ng/mL,fPSA水平平均为1.499 ng/mL,f/tPSA平均为0.160。PCa和BPH的患者在年龄、tPSA、fPSA、f/tPSA中的差异均无统计学意义(P>0.05)。见表1。

表1 两组患者资料分析

项目	BPH组(n=185)	PCa组(n=70)	P
年龄			0.458
平均值	64.73	68.03	
σ^2	8.39	8.24	
PSA			0.223
平均值	9.51	10.19	
σ^2	3.78	4.32	
fPSA			0.78
平均值	1.499	1.454	
σ^2	1.094	1.861	
fPSA/PSA			0.055
平均值	0.16	0.139	
σ^2	0.006	0.005	

2.2 PIRADS v2系统对PCa的诊断价值分析

①对PIRADS v2系统在PSA 4~20 ng/mL内的PCa的诊断价值进行ROC曲线分析:AUC=0.698(95% CI 0.623~0.772),P<0.01。PIRADS v2≥4分为最佳切点,特异性为71.9%,敏感性为63.4%(图1)。②对PIRADS v2系统在PSA灰区:PSA 4~10 ng/mL内的PCa的诊断价值进行ROC曲线分析:AUC=0.684(95% CI 0.580~0.788),P<0.01。PIRADS v2≥4分为最佳切点,特异性为74.1%,敏感性为62.5%(图2),③对PIRADS v2系统在PSA>10~20 ng/mL内的PCa的诊断价值进行ROC曲线分析:AUC=0.711(95% CI 0.604~0.818),P<0.01。PIRADS v2≥4分为最佳切点,特异性为68.5%,敏感性为66.7%(图3),Logistic回归显示:PIRADS v2系统的评分为PCa的独立预测因子P<0.01。

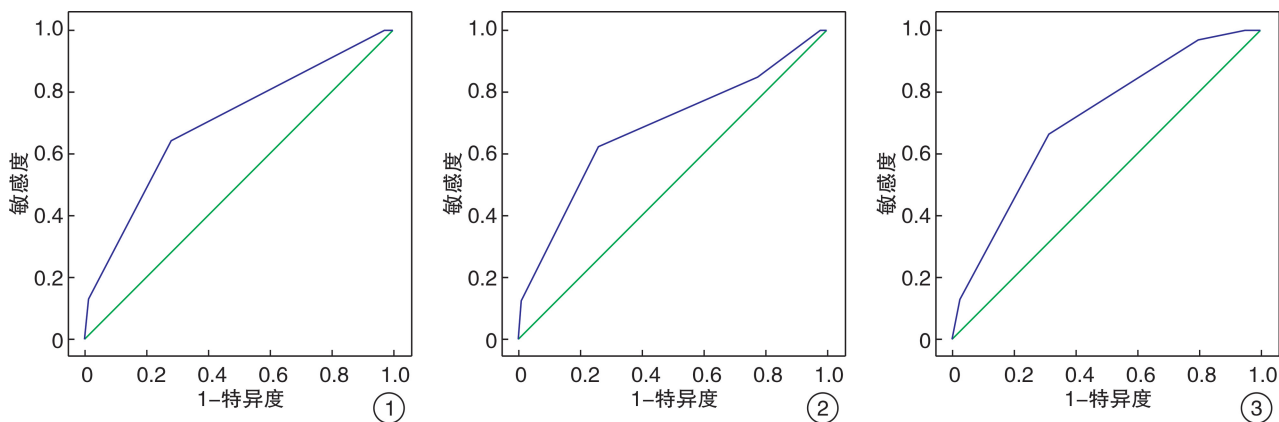


图1 PI-RADS v2 诊断 PSA 4~20 ng/mL 内的 PCa 的 ROC 分析；图2 PI-RADS v2 PSA 灰区的 PCa 的 ROC 分析；图3 PI-RADS v2 PSA>10~20 ng/mL 的 PCa 的 ROC 分析

2.3 PSA 4~20 ng/mL 区域内 PCa 癌灶的 PI-RADS v2 评分与 Gleason 评分的相关性分析

对 70 例 PCa 患者的 78 处病灶的 PI-RADS v2 评分与病理结果 Gleason 评分进行 Spearman 相关分析,结果显示 $r_s = 0.455, P < 0.05$, PI-RADS v2 与 Gleason 评分呈显著性正向中度相关性。见表 2。

表2 PSA 4~20 ng/mL 区域 PI-RADS v2 评分与 Gleason 评分的相关性分析

PI-RADS v2 评分/分	Gleason 评分/分					r	P
	6	7	8	9	10		
2	7	2	1	0	0	0.455	0.0024
3	16	2	1	0	0		
4	16	15	5	3	0		
5	1	3	3	2	0		

3 讨论

PCa 是男性第二常见的恶性肿瘤,也是男性癌症死亡的第五大原因,PCa 在澳洲,北美及西欧的发病率高于亚洲及非洲,且均呈上升趋势,伴随医疗水平的提高,PCa 的死亡率在发达国家有所减低,但因人口的增长和老龄化的加剧,其发病率可能继续增长,并对公共卫生造成极大负担。已确定的 PCa 危险因素包括高龄、黑人种族、家族史以及某些遗传多态性等^[8]。传统的 PSA 结合经直肠指检(digital rectal examination, DRE)以及经直肠超声(TRUS)引导下行前列腺穿刺活检应用于 PCa 的诊断可以有效的降低 PCa 死亡率,但其产生的过度诊断和穿刺活检可造成患者可传染性并发症、心理伤害的发生和经济的损失^[9]。

近些年,越来越多的证据表明,在前列腺穿刺活检之前行 mp-MRI 检查可以增加临床显著癌的检出率,同时降低临床非显著癌的过度诊断,使

25%~30% 的患者避免不必要的穿刺活检。2015 年,欧洲泌尿生殖放射学学会(ESUR)和美国放射学院(ACR)在第 1 版的基础上发表了第 2 版 PI-RADS v2 推荐指南,创新的采用 1~5 分的评分系统对每一处前列腺病灶进行评分,进一步规范了 MRI 图像的获取和解读^[10]。Chen 等^[11]回顾分析了 131 例行 MP-MRI 检查后进行前列腺穿刺的患者,并认为 PI-RADS v2 可以提高不同阅片者诊断的一致性,降低人为误差,评分的高低可能同 PCa 病理级别呈正相关。Niu 等^[12]对 151 例 PSA 灰区的患者进行研究,认为 PI-RADS v2 标准化 mp-MRI 检查结果后可以有效预测 PCa 的风险,减少 PSA 灰区患者不必要的前列腺穿刺。近年来,国内外学者证实,将 mp-MRI 数据融合于实时 TRUS 图像(MRI-TRUS)引导前列腺活检可进一步提高 PCa 的检出率,具有重要的临床意义^[13-14]。

目前我国对于 PI-RADS v2 在 PSA 4~20 ng/mL 区段中的诊断价值则未见报道。本研究筛选 2018~2019 年我院前列腺穿刺活检患者中 PSA 4~20 ng/mL 且行 mpMRI 及 PI-RADS 评分的患者 255 例,其中 PCa 患者 70 例,分析其病理结果及相关因子,结果显示:PIRADS v2 对 PSA 4~20 ng/mL 区段的 PCa 的诊断具有较高的价值 AUC = 0.698(95% CI 0.623~0.772), $P < 0.01$, 其中 PSA 位于 >10~20 ng/mL 区段内的 PCa 的诊断价值要高于 PSA 灰区。PIRADS v2 在 PIRADS 3 分时的局限性已经得到广泛的认可^[15], PIRADS 3 分的“中间外观”特性使其完全不同于评分 1、2 或者 4、5,即使严格遵循 PI-RADS v2 评分准则,也会因为不同的影像学医师而产生较大的变异性,而同外周带内发现的 PIRADS 3 分病变相比,在移行带内发现的 PIRADS 3 分病变的良性可能性更高,此外一些 BPH 患者在行 mp-MRI 检查前出现如急性尿潴留等症状时也会导致 PI-RADS 评分升高,以上

原因可能导致PIRADS 3时穿刺阳性率降低,从而影响PIRADS v2对PSA 4~20 ng/mL区段的PCa的诊断价值,本研究入组患者中,PIRADS 3分的患者为111例,其中PCa患者18例,其穿刺阳性率为16.2%,远低于PIRADS 4分和PIRADS 5分的患者的穿刺阳性率(40%、75%)。Xu等^[16]的研究证实当PIRADS v2为4分时对PCa的诊断具有最高的敏感性和特异性,其结果与本研究一致。同时本研究结果显示,PIRADS v2作为PCa的独立预测因子能够单独预测PCa的发生率且与Gleason评分呈显著的正向中度相关性。

综上所述,PIRADS v2评分对PSA 4~20 ng/mL内PCa的诊断具有很高的价值,其与病理结果具有显著的正向中度相关性,对于鉴别诊断PSA 4~20 ng/mL区域内的PCa与BPH有很大帮助,其作为诊断依据可避免不必要穿刺活检,为临床提供帮助。

[参考文献]

- 1 Schmidt JA, Fensom GK, Rinaldi S, et al. Patterns in metabolite profile are associated with risk of more aggressive prostate cancer: A prospective study of 3,057 matched case-control sets from EPIC[J]. Int J Cancer, 2020, 146(3):720–730.
- 2 Halpern EJ, Strup SE. Using Gray-Scale and Color and Power Doppler Sonography to Detect Prostatic Cancer [J]. AJR Am J Roentgenol, 2000, 174(3):623–627.
- 3 Murphy G, Haider M, Ghai S, et al. The expanding role of MRI in prostate cancer[J]. AJR Am J Roentgenol, 2013, 201(6):1229–1238.
- 4 Weinreb JC, Barentsz Jelle O, Choyke Peter L, et al. PI-RADS Prostate Imaging-Reporting and Data System: 2015, Version 2[J]. Eur Urol, 2016, 69(1):16–40.
- 5 Kamran SC, D'Amico AV. Radiation Therapy for Prostate Cancer[J]. Hematol Oncol Clin North Am, 2020, 34(1):45–69.
- 6 Hwang SII, Lee HJ, Lee SE, et al. Value of MR-US fusion in guidance of repeated prostate biopsy in men with PSA<10 ng/mL[J]. Clin Imag, 2019, 53:1–5.
- 7 Noh TI, Tae JH, Kim HK, et al. Diagnostic Accuracy and Value of Magnetic Resonance Imaging-Ultrasound Fusion Transperineal Targeted and Template Systematic Prostate Biopsy Based on Bi-parametric Magnetic Resonance Imaging[J]. Cancer Res Treat, 2020, 52(3):714–721.
- 8 Wong MCS, Goggins WB, Wang HHX, et al. Global Incidence and Mortality for Prostate Cancer: Analysis of Temporal Patterns and Trends in 36 Countries[J]. Eur Urol, 2016, 70(5):862–874.
- 9 Nordstrom T, Akre O, Aly M, et al. Prostate-specific antigen (PSA) density in the diagnostic algorithm of prostate cancer[J]. Prost Cancer PD, 2018, 21(1):57–63.
- 10 Caglic I, Barrett T. Optimising prostate mpMRI: prepare for success[J]. Clin Radiol, 2019, 74(11):831–840.
- 11 Chen F, Cen S, Palmer S, et al. Application of Prostate Imaging Reporting and Data System Version 2 (PIRADS v2): Interobserver Agreement and Positive Predictive Value for Localization of Intermediate-and High-Grade Prostate Cancers on Multiparametric Magnetic Resonance Imaging[J]. Acad Radiol, 2017, 24(9):1101–1106.
- 12 Niu XK, Li J, Das SK, et al. Developing a nomogram based on multiparametric magnetic resonance imaging for forecasting high-grade prostate cancer to reduce unnecessary biopsies within the prostate-specific antigen gray zone[J]. BMC Med Imaging, 2017, 17(1):11.
- 13 Hoge C, Verma S, Lama DJ, et al. Racial disparity in the utilization of multiparametric MRI-ultrasound fusion biopsy for the detection of prostate cancer[J]. Prostate Cancer Prostatic Dis, 2020, 23(4):567–572.
- 14 Xu G, Xiang L, Wu J, et al. The accuracy of prostate lesion localization in cognitive fusion[J]. Clin Hemorheol Microcirc, 2020, 74(3):223–229.
- 15 Liddell H, Jyoti RHH, Haxhimolla HZ, et al. mp-MRI Prostate Characterised PIRADS 3 Lesions are Associated with a Low Risk of Clinically Significant Prostate Cancer-A Retrospective Review of 92 Biopsied PIRADS 3 Lesions[J]. Curr Urol, 2014, 8(2):96–100.
- 16 Xu N, Wu YP, Chen DN, et al. Can Prostate Imaging Reporting and Data System Version 2 reduce unnecessary prostate biopsies in men with PSA levels of 4–10 ng/ml? [J]. J Cancer Res Clin, 2018, 144(5):987–995.

(收稿日期:2020-08-11)